生物高分子模板调控球形碳酸钙的仿生合成

叶桂牛

(安徽大学化学化工学院 合肥 230039)

摘 要 采用羟丙基甲基纤维素(HPMC)为软模板,在 CaCl, Na, CO,体系中调控合成了球霰石型的碳酸钙球 形晶体。研究了碳酸钙球体的成型原因,分析了不同浓度 HPMC对晶体生长的影响; 分别用 SEM、XRD和 FT II测试技术对晶体的形貌和结构进行了观察和表征。结果表明,在纯水溶液中所得的碳酸钙为菱形方解 石: HPMC的加入促使球霰石相碳酸钙的异相成核、碳酸钙的晶型与形貌随 HPMC质量分数的变化而改变, 当 HPM C的质量分数达到 1.0%时,可成功地诱导碳酸钙晶体取向生长形成球体。

关键词 羟丙基甲基纤维素,碳酸钙,模板,球体,合成

中图分类号: 0611.6

文献标识码: A

文章编号: 1000 0518(2006) 12-1413 03

生物矿物除具有基本的结构和支持功能外,还有许多特殊的生物功能,研究生物矿化机理可用于指 导新型仿生材料的合成[12]。在生物矿化过程中,界面分子识别过程起着至关重要的作用,在一定的环 境条件下,有机基质通过自组装形成模板,该模板在为无机矿物提供结构框架的同时,通过与无机离子 在界面上静电匹配、几何匹配和立体化学匹配等作用控制矿物的成核和生长,使形成的生物矿物具有 特殊的形貌和优异的物理、化学性质。因此利用生物矿化原理调控合成特定形貌的无机材料成为一个 研究热点[3]。

碳酸钙具有六方(方解石)、斜方(文石)和六方(球霰石)3种晶型,其稳定性依次降低。生物矿化 过程中,在一般的水溶液体系中, Ca^{2+} 和 OO_3^{2-} 相结合最先形成无定形碳酸钙,然后迅速转变成另外 2种 结晶相 ——球霰石和方解石。最后是球形的球霰石向斜方六面体的方解石转变。因此如果选择合适的 反应条件或添加剂,调控阻止球霰石向热力学更稳定的方解石转变,就可制得稳定的球形球霰石[4]。据 报道[5~8], 二价金属离子、表面活性剂[二(2乙基已基)磺酸钠]、双亲水基嵌段共聚物、阳离子树枝状 化合物等均可作为添加剂调控诱导获得稳定的球形球霰石。但是用高分子化合物尤其是生物高分子化 合物作模板或添加剂,调控无机化合物合成的研究尚少^[910],所合成的材料与天然生物矿物不尽一致。 本文选用从天然纤维素改性而得的可降解生物高分子化合物羟丙基甲基纤维素为软模板,首次在模拟 矿化环境的体系中制备了稳定的球形球霰石材料。

羟丙基甲基纤维素 (HPMC) (英国 Colorcon公司)、Ca(NO₃)₂· 4H₂O, 含量 > 99.0%、无水碳酸钠。 所用试剂均为分析纯,实验用水为二次水。

DSM 940 A 型扫描电子显微镜 (法国 Opton公司); PDS 120型 X 射线衍射仪 (德国 Nonius GmbH); Nicolet870型傅立叶红外光谱仪(美国 Nicolet公司)。

在室温下将羟丙基甲基纤维素作为添加剂软模板溶于 5 mmol/L的 CaC lp溶液中,用稀 N aOH 溶液 调节溶液的 pH=7.0 将 250 mL 5 mmol/L的 N a CO√溶液在搅拌下加入上述溶液中, C aCO₃的最终浓度 为 2.5 mmol/L。CaCO3 从溶液中沉淀出来后,继续搅拌 10 m in 然后将烧杯封口,在室温下静置 24 h。 最终溶液中 HPMC的质量分数分别为 0.0.5%和 1.0%。用二次水和无水乙醇洗涤,滤出 $CaCO_3$ 沉淀, 干燥后作分析用。

结果与讨论

图 1 为不同溶液体系中所得样品的扫描电子显微镜照片。图中可见, 在纯水溶液体系中, 所得的碳 酸钙晶体为规则的菱形结构 (图 1a); 当加入质量分数为 0.5%的 HPMC作为软模板时, 所得的碳酸钙

²⁰⁰⁵⁻¹²⁻²⁹收稿, 2006-04-25修回

晶体为片状叠加体 (图 1b); 当 HPMC的质量分数达到 1.0%时, 所得晶体为分散性良好的球形 (图 1c)。

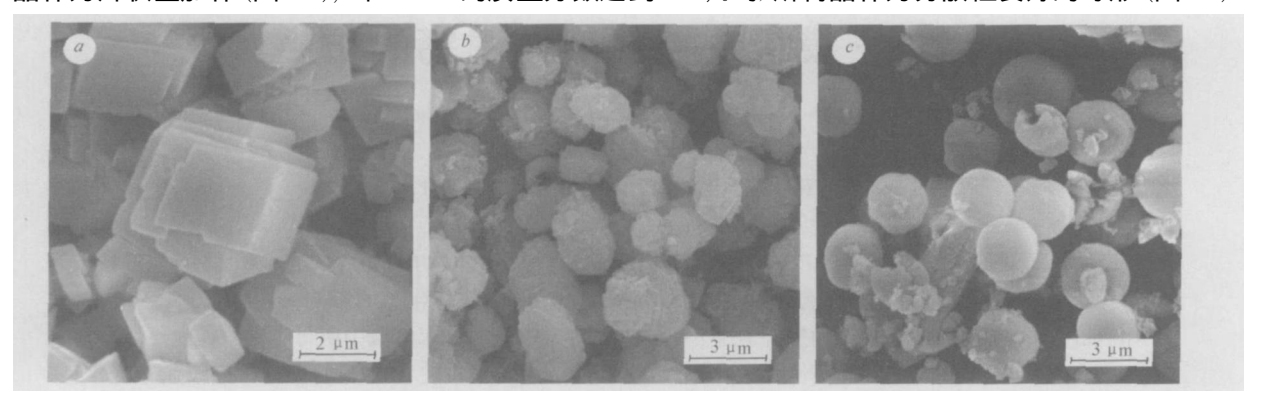


图 1 不同浓度的 H PM C溶液体系中所得碳酸钙晶体的 SEM 照片

 $\label{eq:Fig.1} Fig. 1 \quad SEM \quad \text{in ages of $CaCO_3$ c rystals p repaired in $HPMC$ solution different concentration}$

 $\omega(HPMC)$ 1/2: a. 0, b. 0. 5, c 1 0

图 2为不同质量分数的 HPMC 溶液体系中所得碳酸钙晶体的 FT- IR 图谱。由图可见,在纯水溶液体系中得到的晶体红外光谱的吸收峰(图 2a)出现在 $1420 \sim 1507$. 875 和 713 cm $^{-1}$,与文献值 $^{[11]}$ (方解石) 1420. 876 和 714 cm $^{-1}$ 基本一致,其中 875 //13 cm $^{-1}$ 吸收峰为方解石的特征峰 $^{[12]}$ 。这表明在纯水体系中得到的碳酸钙晶体为方解石型。而当加入 HPMC 作为添加剂后(图 2b 2c),除上述吸收峰外,在 1084和 745 cm $^{-1}$ 处出现球霰石碳酸钙的特征吸收峰,且峰强随 HPMC 质量分数的增加而明显增强。说明这 2个体系中得到的碳酸钙晶体是方解石和球霰石的混合物,HPMC的诱导作用有利于热力学不稳定的球霰石碳酸钙的形成。

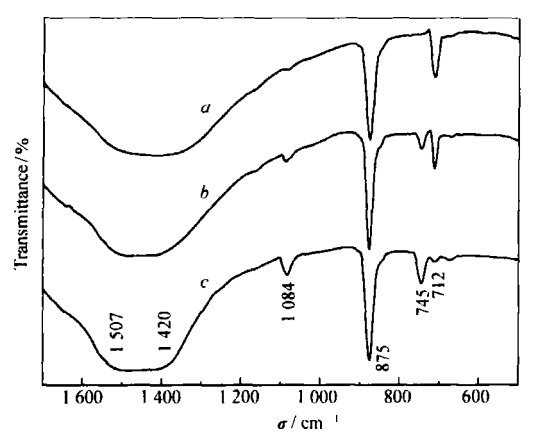


图 2 不同浓度的 HPMC 溶液体系中 所得碳酸钙晶体的 FT-IR 图

Fig. 2 FT-IR spectra of CaCO₃ crystals prepared in HPMC solution different concentration ω(HPMC)/%; a. 0; b. 0.5; c. 1. 0

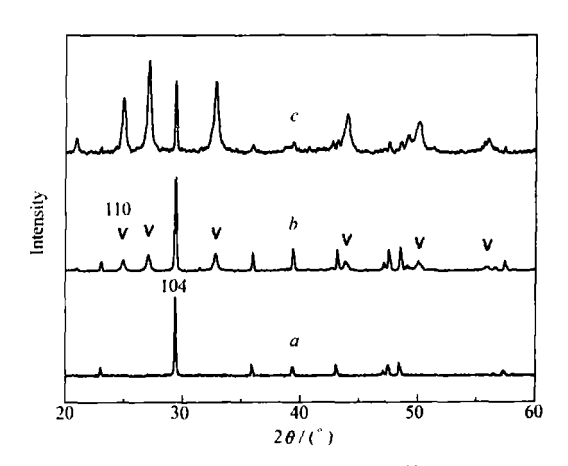


图 3 不同溶液体系中所得碳酸钙晶体的 XRD 图 Fig. 3 XRD spectra of CaCO₃ crystals prepared in HPMC solutio different concentrationn ω(HPMC)/%: a. 0; b. 0. 5; c. 1. 0

X 射线粉末衍射图表明, 纯水溶液中所得菱形碳酸钙的晶型为方解石 (图 3a), 而含 HPMC 的溶液体系中所得的碳酸钙为方解石和球霰石 (图 3b 3c)的混合物。用图 3 中方解石 $\{104\}$ 峰的积分强度代表混合物中方解石的含量,球霰石的 $\{110\}$ 峰的积分强度代表混合物中球霰石的含量,通过线性拟合得如下方程 $\{13\}$:

$$\frac{I_{\rm C}^{104}}{I_{\rm V}^{110}} = 7 \ 691 \times \frac{X_{\rm C}}{X_{\rm V}} \tag{1}$$

式中, $\int_{C}^{04} \mathbb{Z}_{V}^{110}$ 表示混合物中方解石 $\{104\}$ 衍射峰和球霰石的 $\{110\}$ 衍射峰的积分强度的比值; X_{C} X_{V} 为混合物中方解石和球霰石的摩尔比。

由 XRD 分析结果可知,3种体系中所得产物比例如下: 纯水中全部为方解石; ω (HPMC) = 0.5%时,方解石和球霰石含量分别为 53.3%和 46.7%; ω (HPMC) = 1.0%时,方解石和球霰石含量分别为 14.4%和 85.6%。可见,热力学不稳定的球霰石型碳酸钙所占的比例随 HPM C质量分数的增加而明显增大。当 HPM C质量分数达到 1.0%时,所得晶体中球霰石的含量接近 85.6%。

一般来说。在 CaCO3结晶体系中的添加剂起 2种作用^[14]:一是附着在晶体的生长点上阻碍晶体的进一步生长;二是作为异类的成核物质控制和稳定所沉积的晶体的结晶状态。HMPC中羧酸基团在电离状态下能够束缚溶液中的钙离子,且随着 HMPC质量分数的增加,HPMC的高分子链在饱和碳酸钙水溶液中的构象逐渐发生卷曲,并且有一部分可能形成半球形结构。研究表明^[15],碳酸钙的晶型与其所处的能量状态有关,线型构象等能量较低的体系所诱导的碳酸钙晶体多为热力学稳定的方解石型,当诱导体系处于能量较高的状态时,所诱导的晶体多为球霰石型。而当 HPMC的分子链处于半球构象时,其能量较高,最终诱导产生了球霰石型的碳酸钙球体。

参考文献

- 1 Sm ith B L Nature J, 1999 399 761
- 2 Shenton W, Douglas T, Young M, et al Adv Mater J, 1999 11, 253
- 3 Man S. Nature J, 1998 332 119
- 4 Clarkson J.R. Price T. J. Adam's C. J. J. Chem. Soc Faraday Trans, 1, 1992. 88, 243
- 5 Brecevic L. J Chan Soc Fanaday, Trans J., 1996 92, 1017
- 6 Lope zm acipe A. J Crystal Growth [J], 1996 166, 1015
- 7 Falini G. Albeck S. Weiner S. et al. Science J., 1996 271, 67
- 8 Naka K, Tanaka Y, Chu p Y, et al Chen Commun [J], 1999, 1931
- 9 kawaguchi H, Hirai H, Sakai K, et al Colbid Polym Sci J, 1992 270 1 176
- 10 Naka K, Keum D K, Tanaka Y, et al Chen Commun [J], 2000 1 537
- 11 Andersen F. Brecevic A L Acta Chan Scandinavica J, 1991 45, 1018
- 12 Beniash F, Aizenberg J Addadi I, et al Proc Soc London Ser B J, 1997, 264, 461
- 13 Kontovannis C G, Vagenas N V. Analyst 2000 125 251
- 14 JANG Lu Hua(姜鲁华), DU Fang Lin(杜芳林), ZHANG Zhi(张志). China Powder S ci Tech(中国粉体技术)[J], 2002 8(5): 31
- 15 NEQir Lin(聂秋林), ZHENG YiFan(郑遗凡), YUE Lin Hai(岳林海), et al Chinese J Inong Chon (无机 化学学报)[J], 2003 19(4): 445

B iom in etic Synthesis of Spherical CaCO₃ Induced by B iom o lecu les

YE Gui Sheng

(School of Chan istry and Chan ical Engineering, Anhui University, Hefei 230039)

Abstract Spherical calcium carbonate was prepared by the reaction of sodium carbonate with calcium characterized in the presence of a biomolecule (HPMC) as the template. The products were characterized by SEM, FT-R and XRD, respectively. The results show that calcite formed in the absence of HPMC and vaterite formed in the presence of HPMC. The effect of HPMC on the crystal form and morphology of the as prepared $CaCO_3$ was investigated. It was found that the shape of the produced calcium carbonate crystallites could be well controlled by adjusting the HPMC concentration. Vaterite spheres were induced when the $\omega(HPMC)$ reached 1.0%.

Keywords HPMC calcium carbonate template sphere synthesis